

# HPLC 测定益肾骨康颗粒中莫诺昔、马钱昔、野黄芩昔、柚皮昔的含量

宋京美<sup>1</sup>, 龚韬<sup>1</sup>, 杨薇<sup>1</sup>, 胡银燕<sup>1</sup>, 严文利<sup>1</sup>, 王夏<sup>1</sup>, 冯利<sup>2\*</sup>(1.北京市临床药学研究所, 北京 100035; 2.国家癌症中心/国家肿瘤临床医学研究中心/中国医学科学院北京协和医学院肿瘤医院, 北京 100021)

**摘要:** 目的 通过 HPLC 对益肾骨康颗粒中莫诺昔、马钱昔、野黄芩昔、柚皮昔的含量进行定量分析。方法 色谱柱为 Kinetex EVO C<sub>18</sub>(150 mm×4.6 mm, 5 μm), 进样量为 10 μL, 流动相采用乙腈(A)和 0.5%磷酸水溶液(B)进行梯度洗脱。检测波长设为 240 nm(莫诺昔、马钱昔)、283 nm(柚皮昔)、335 nm(野黄芩昔)进行检测。结果 莫诺昔、马钱昔、野黄芩昔、柚皮昔标准曲线分别为  $Y=1.8978 \times 10^6 X - 22\ 664.29 (r=0.999\ 9)$ ,  $Y=1.7920 \times 10^6 X + 3\ 040.43 (r=0.999\ 9)$ ,  $Y=3.7459 \times 10^6 X + 3\ 287 (r=0.999\ 9)$ ,  $Y=1.8540 \times 10^6 X + 654.57 (r=0.999\ 8)$ ; 线性范围分别为 0.363 5~2.544 5, 0.238 2~1.667 6, 0.087 1~0.609 4, 0.078 3~0.548 2 μg, 平均加样回收率分别为 98.25%, 96.35%, 95.74%, 95.76%, RSD 分别为 0.85%, 0.92%, 1.06%, 0.67%。**结论** 该法操作简单, 结果具有较好的仪器精密度、稳定性和重复性, 可作为益肾骨康颗粒质量控制的有效方法, 而不同批次益肾骨康颗粒有效成分含量存在不同程度差异。

**关键词:** 益肾骨康颗粒; 莫诺昔; 马钱昔; 野黄芩昔; 柚皮昔; 高效液相色谱法; 含量测定

中图分类号: R917.101 文献标志码: B 文章编号: 1007-7693(2021)07-0841-04

DOI: 10.13748/j.cnki.issn1007-7693.2021.07.012

引用本文: 宋京美, 龚韬, 杨薇, 等. HPLC 测定益肾骨康颗粒中莫诺昔、马钱昔、野黄芩昔、柚皮昔的含量[J]. 中国现代应用药学, 2021, 38(7): 841-844.

## Determination of Morroniside, Loganin, Scutellarin and Naringin in Yishen Gukang Granules by HPLC

SONG Jingmei<sup>1</sup>, GONG Tao<sup>1</sup>, YANG Wei<sup>1</sup>, HU Yinyan<sup>1</sup>, YAN Wenli<sup>1</sup>, WANG Xia<sup>1</sup>, FENG Li<sup>2\*</sup>(1.Beijing Institute of Clinical Pharmacy, Beijing 100035, China; 2.National Cancer Center/National Clinical Research Center for Cancer/Cancer Hospital, Chinese Academy of Medical Sciences & Peking Union Medical College, Beijing 100021, China)

**ABSTRACT: OBJECTIVE** To determine the content of morroniside, loganin, scutellarin and naringin in Yishen Gukang granules by high performance liquid chromatography(HPLC). **METHODS** The HPLC method was performed on Kinetex EVO C<sub>18</sub> column(150 mm×4.6 mm, 5 μm). The gradient elution was adopted with the mobile phase consisting of acetonitrile(A) and 0.5% phosphoric acid aqueous(B), and the injection volume was 10 μL. The detection wavelengths were set at 240 nm (morroniside and loganin), 283 nm(naringin) and 335 nm(scutellarin). **RESULTS** The calibration curves of morroniside, loganin, scutellarin and naringin were  $Y=1.8978 \times 10^6 X - 22\ 664.29 (r=0.999\ 9)$ ,  $Y=1.7920 \times 10^6 X + 3\ 040.43 (r=0.999\ 9)$ ,  $Y=3.7459 \times 10^6 X + 3287 (r=0.999\ 9)$ ,  $Y=1.8540 \times 10^6 X + 654.57 (r=0.999\ 8)$  and the linear ranges were 0.363 5~2.544 5, 0.238 2~1.667 6, 0.087 1~0.609 4, 0.078 3~0.548 2 μg, respectively. The average recoveries of morroniside, loganin, scutellarin and naringin were 98.25%, 96.35%, 95.74%, 95.76% and the RSD were 0.85%, 0.92%, 1.06%, 0.67%, respectively. **CONCLUSION** The method is simple, accurate, stable and reproducible for the quality control of Yishen Gukang granules. The contents of active ingredients in different batches of Yishen Gukang granules are different.

**KEYWORDS:** Yishen Gukang granules; morroniside; loganin; scutellarin; naringin; HPLC; content determination

益肾骨康颗粒(国家发明专利号: ZL201310582907.9)为中国医学科学院北京协和医学院肿瘤医院的医院制剂, 该医院制剂的药物组成主要有酒萸肉、半枝莲、烫骨碎补、茯苓、牡丹皮、泽泻等十味中药, 具有补肾填髓、强筋壮骨、化痰解毒、抗肿瘤止痛的功能, 临床上多用于治疗癌性躯体痛(骨转移痛和肿瘤侵犯深部组织)及肾虚血瘀证<sup>[1-2]</sup>。其君药: 烫骨碎补归肝、肾经,

具有疗伤止痛、补肾强骨之功, 现代药理研究表明其具有免疫调节、抗炎抗肿瘤、骨损伤修复等作用<sup>[3-6]</sup>。臣药: 半枝莲归肺、肝、肾经, 具有清热解毒、化痰利尿之效, 现代药理研究表明其具有促进细胞免疫功能、抗肿瘤、抗病毒、解热、保肝等功能<sup>[7-12]</sup>。佐药: 酒萸肉归肝、肾经, 具有补益肝肾、收涩固脱之功效; 现代药理研究表明其具有神经、心肌保护作用, 对糖尿病肾病保护

基金项目: 北京市科技计划项目(Z171100001717017); 中国医学科学院临床与转化基金项目(2019XK320072)

作者简介: 宋京美, 女, 硕士, 助理研究员 Tel: (010)83227445 E-mail: 2428083078@qq.com \*通信作者: 冯利, 男, 博士, 主任医师 Tel: 18618147576 E-mail: fengli663@126.com

作用,抗肿瘤、抗氧化作用等<sup>[13-16]</sup>。

中药最重要的特点就是多成分、多靶点,中药的多种活性成分是其发挥疗效的物质基础,多成分的质控模式是中药质量控制研究的重点<sup>[17-20]</sup>。该医院制剂内控质量现行标准仅为薄层鉴别定性分析,缺少有效的定量分析方法。本研究现采用高效液相色谱多波长切换法同时测定酒萸肉(马钱苷、莫诺苷)、半枝莲(野黄芩苷)、烫骨碎补(柚皮苷)4种成分的含量,此方法准确、操作简便,提供了更加全面有效的定量分析手段。

## 1 仪器与试剂

LC-20A 高效液相色谱仪(日本 SHIMADZU 公司); XP105DR 电子天平(瑞士 Mettler Toledo 公司); KX-2127QT 超声波清洗器(北京科玺世纪科技有限公司); Milli-Q 纯水机(美国 Millipore 公司)。

甲醇(分析纯,北京市通广精细化工品公司); 乙腈(色谱纯,赛默飞世尔科技有限公司); 磷酸(色谱纯,天津市光复科技发展有限公司); 水为超纯水,其他试剂为分析纯; 对照品: 莫诺苷(批号: 111998-201703; 纯度: 97.4%)、马钱苷(批号: 111640-201707; 纯度: 99.2%)、野黄芩苷(批号: 110842-201709; 纯度: 91.7%)、柚皮苷(批号: 110722-201714; 纯度: 93.4%)均购自中国食品药品检定研究院; 益肾骨康颗粒(中国医学科学院北京协和医学院肿瘤医院提供,批号: 20181029, 20181030, 20181031)。

## 2 方法与结果

### 2.1 混合对照品溶液配制

精密称取莫诺苷、马钱苷、野黄芩苷、柚皮苷对照品适量,加 80%甲醇制成每 1 mL 含莫诺苷 1.817 5 mg、马钱苷 1.191 2 mg、野黄芩苷 0.435 3 mg、柚皮苷 0.391 6 mg 混合对照品溶液。

### 2.2 供试品溶液配制

精密称定益肾骨康样品粉末 1 g,置具塞锥形瓶中,精密加入 80%甲醇 25 mL,称定重量,超声处理(功率 180 W,频率 60 kHz)30 min,用 80%甲醇补足减失的质量,摇匀,滤过,取续滤液,即得。

### 2.3 阴性对照溶液配制

按处方中药味的比例及制法分别制备不含酒萸肉(莫诺苷、马钱苷)、半枝莲(野黄芩苷)、烫骨碎补(柚皮苷)的阴性样品,再按“2.2”项下方法制备相应的阴性对照溶液。

## 2.4 色谱条件

色谱柱为 Kinetex EVO C<sub>18</sub>(150 mm×4.6 mm, 5 μm),以乙腈(A)和 0.5%磷酸水溶液(B)为流动相梯度洗脱,柱温 40 °C,流速 1.0 mL·min<sup>-1</sup>,检测波长 λ<sub>1</sub>: 0~25 min 为 240 nm; λ<sub>2</sub>: 25~50 min 为 283 nm; λ<sub>3</sub>: 335 nm,进样量为 10 μL。梯度洗脱程序见表 1。

表 1 梯度洗脱程序

Tab. 1 Gradient elution procedure

时间/min	流动相 A/%	流动相 B/%	λ <sub>1</sub> /λ <sub>2</sub> /nm	λ <sub>3</sub> /nm
0~10	5	95	240	335
10~25	5→17	95→83	240	335
25~39	17→80	83→20	283	335
39~45	80	20	283	335
45~46	80→5	20→95	283	335
46~50	5	95	283	335

## 2.5 方法学考察

**2.5.1 专属性考察** 分别精密吸取供试品溶液、对照品溶液、阴性对照溶液各 10 μL 注入液相色谱仪,进行专属性试验。结果显示各个成分的专属性均良好,阴性样品对测定不产生干扰。结果见图 1。

**2.5.2 线性关系考察** 精密吸取混合对照品溶液 2, 4, 6, 8, 10, 12, 14 μL,按照“2.4”项下色谱方法进行测定,以峰面积为纵坐标 Y,进样量为横坐标 X,线性回归。分别绘制标准曲线,计算回归方程及线性范围。结果见表 2。

表 2 线性关系试验结果

Tab. 2 Results of the linear relationship

对照品	回归方程	r 值	线性范围/μg
莫诺苷	$Y=1.8978 \times 10^6 X - 22664.29$	0.9999	0.3635~2.5445
马钱苷	$Y=1.7920 \times 10^6 X + 3040.43$	0.9999	0.2382~1.6676
野黄芩苷	$Y=3.7459 \times 10^6 X + 3287$	0.9999	0.0871~0.6094
柚皮苷	$Y=1.8540 \times 10^6 X + 654.57$	0.9998	0.0783~0.5482

**2.5.3 仪器精密度试验** 吸取“2.1”项下混合对照品溶液,按“2.4”项下色谱条件,连续进样 6 次,记录莫诺苷、马钱苷、野黄芩苷、柚皮苷峰面积,并计算其相应的 RSD 值分别为 0.36%, 0.21%, 0.38%, 0.17%。

**2.5.4 重复性试验** 取 6 份同一批次的益肾骨康颗粒,按“2.2”项下方法制备供试品溶液,按“2.4”项下色谱条件测定莫诺苷、马钱苷、野黄芩苷、柚皮苷的峰面积,并计算 4 种成分的含量及其相应的 RSD 值。结果 4 种成分含量为 0.109 6%, 0.056 3%, 0.023 9%, 0.021 6%;其 RSD 值为 0.26%, 0.32%, 0.64%, 0.38%,表明该方法重复性良好。

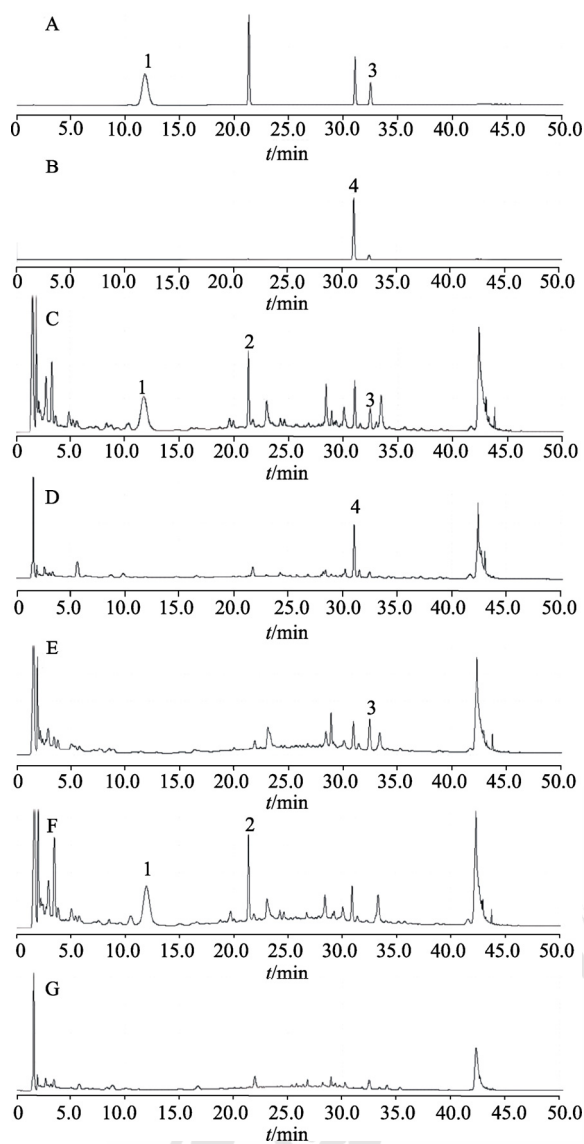


图1 高效液相色谱图

A-混合对照品溶液( $\lambda_1$ - $\lambda_2$ ); B-对照品溶液( $\lambda_3$ ); C-供试品溶液( $\lambda_1$ - $\lambda_2$ ); D-供试品溶液( $\lambda_3$ ); E-缺酒萸肉阴性样品; F-缺烫骨碎补阴性样品; G-缺半枝莲阴性样品; 1-莫诺苷; 2-马钱苷; 3-柚皮苷; 4-野黄芩苷。

Fig. 1 HPLC chromatograms

A-mixed reference solution( $\lambda_1$ - $\lambda_2$ ); B-reference solution( $\lambda_3$ ); C-test solution( $\lambda_1$ - $\lambda_2$ ); D-test solution( $\lambda_3$ ); E-negative sample without Corni Fructus; F-negative sample without Drynariae Rhizoma; G-negative sample without Scutellariae Barbatatae Herba; 1-morroniside; 2-loganin; 3-naringin; 4-scutellarin.

**2.5.5 溶液稳定性试验** 取同一益肾骨康供试品溶液, 分别在 0, 6, 12, 18, 24 h, 按“2.4”项下色谱条件测定, 计算莫诺苷、马钱苷、野黄芩苷、柚皮苷峰面积的 RSD 值分别为 0.81%, 0.43%, 0.68%, 0.62%, 该供试品溶液在 24 h 内基本稳定。

**2.5.6 加样回收率试验** 取已知含量的益肾骨康样品 9 份, 每份 0.5 g, 精密称定, 再分别精密加入已知含量的 50%, 100%, 150% 的混合对照品, 按“2.2”项下方法制备供试品溶液, 按“2.4”项

下色谱条件进样测定, 计算加样回收率。莫诺苷、马钱苷、野黄芩苷、柚皮苷的平均加样回收率分别为 98.25%, 96.35%, 95.74%, 95.76%, RSD 分别为 0.85%, 0.92%, 1.06%, 0.67%, 该方法回收率良好。结果见表 3。

表 3 回收率试验结果

Tab. 3 Results of recovery test

成分	称取量/g	样品含量/mg	加入量/mg	测得量/mg	回收率/%	平均值/%	RSD/%
莫诺苷	0.502 3	1.373 3	0.660 9	2.030 2	99.39	98.25	0.85
	0.502 8	1.374 7	0.660 9	2.034 1	99.78		
	0.502 2	1.373 1	0.660 9	2.018 0	97.59		
	0.501 3	1.370 6	1.321 7	2.674 0	98.61		
	0.501 5	1.371 2	1.321 7	2.668 8	98.18		
	0.501 9	1.372 2	1.321 7	2.666 7	97.94		
	0.494 3	1.351 5	1.982 6	3.285 3	97.54		
	0.497 1	1.359 1	1.982 6	3.295 0	97.64		
	0.500 4	1.368 1	1.982 6	3.302 7	97.58		
马钱苷	0.502 3	0.705 9	0.352 9	1.047 1	96.69	96.35	0.92
	0.502 8	0.706 6	0.352 9	1.053 4	98.27		
	0.502 2	0.705 8	0.352 9	1.047 1	96.71		
	0.501 3	0.704 5	0.705 8	1.385 0	96.41		
	0.501 5	0.704 8	0.705 8	1.380 8	95.78		
	0.501 9	0.705 4	0.705 8	1.378 8	95.41		
	0.494 3	0.694 7	1.058 7	1.704 4	95.37		
	0.497 1	0.698 6	1.058 7	1.715 5	96.05		
	0.500 4	0.703 3	1.058 7	1.724 6	96.47		
野黄芩苷	0.502 3	0.299 5	0.136 6	0.429 3	95.00	95.74	1.06
	0.502 8	0.299 8	0.136 6	0.433 8	98.06		
	0.502 2	0.299 4	0.136 6	0.431 4	96.58		
	0.501 3	0.298 9	0.273 3	0.560 9	95.88		
	0.501 5	0.299 0	0.273 3	0.559 5	95.32		
	0.501 9	0.299 3	0.273 3	0.559 4	95.18		
	0.494 3	0.294 7	0.409 9	0.683 5	94.85		
	0.497 1	0.296 4	0.409 9	0.686 6	95.19		
	0.500 4	0.298 4	0.409 9	0.690 3	95.61		
柚皮苷	0.502 3	0.270 3	0.140 3	0.404 4	95.65	95.76	0.67
	0.502 8	0.270 5	0.140 3	0.406 4	96.90		
	0.502 2	0.270 2	0.140 3	0.403 3	94.88		
	0.501 3	0.269 7	0.280 5	0.540 2	96.42		
	0.501 5	0.269 8	0.280 5	0.539 2	96.02		
	0.501 9	0.270 0	0.280 5	0.538 9	95.83		
	0.494 3	0.266 0	0.420 8	0.669 0	95.79		
	0.497 1	0.267 5	0.420 8	0.667 4	95.06		
	0.500 4	0.269 2	0.420 8	0.670 3	95.31		

## 2.6 含量测定

取 3 批益肾骨康颗粒样品, 按“2.2”项下方法配制供试品溶液, 按“2.4”项下色谱条件测定莫诺苷、马钱苷、野黄芩苷、柚皮苷的含量。3 批样品莫诺苷、马钱苷、野黄芩苷、柚皮苷的 RSD 分别为 0.32%, 0.26%, 0.55%; 0.27%, 0.09%, 0.14%; 0.19%, 0.06%, 0.25%; 0.50%, 0.37%, 0.41%。结果见表 4。

表 4 样品含量测定结果(n=2)

Tab. 4 Results of sample determination(n=2) %

样品编号	莫诺苷	马钱苷	野黄芩苷	柚皮苷
20181029	0.257 6	0.132 8	0.034 4	0.048 7
20181030	0.286 0	0.153 4	0.088 6	0.058 3
20181031	0.273 4	0.140 5	0.059 6	0.053 8

### 3 讨论

本研究运用 UV 法全波长扫描各对照品,测得莫诺昔、马钱昔在 240 nm, 柚皮昔在 283 nm, 野黄芩昔在 335 nm 有最大吸收, 为采用同一色谱条件对 4 种成分进行测定, 故采用了多波长切换及梯度洗脱的方法以实现此目的。此方法可以同时测定 4 种成分, 缩短出峰时间, 实现各有效成分理想分离, 更有效率的进行样品测定。

在供试品溶液制备时, 分别考察了提取方法(超声处理、回流提取)、提取溶媒(60%甲醇、80%甲醇、乙醇)、提取溶媒量(15, 25, 50 mL)、提取时间(10, 20, 30, 40 min)对其含量测定结果的影响。结果显示, 当使用 80%甲醇 25 mL, 超声提取 30 min, 得到的含量结果为最优、最简便的方法。

综上所述, 本研究建立了高效液相色谱法同时测定益肾骨康颗粒中马钱昔、莫诺昔、野黄芩昔、柚皮昔的含量, 此法操作简便、重现性好、精密度高、回收率好, 结果准确, 为该药物质量控制提供了丰富的研究资料, 可用于益肾骨康颗粒的质量控制。

### REFERENCES

[1] YIN Y K, FENG L, ZHOU L, et al. Effects of Yishen Gukang decoction on expression of bone-specific alkaline phosphatase, carboxyterminal propeptide of type I procollagen, and carboxyterminal cross-linked telepeptide of type I collagen in malignant tumor patients with bone metastasis[J]. J Tradit Chin Med(中医杂志:英文版), 2017, 37(1): 30-34.

[2] SONG H L, YIN Y K, ZHOU L, et al. Randomized controlled double-blind clinical study on yishen gukang recipe combined with oxycodone hydrochloride sustained-release tablets in the treatment of moderate to severe cancerous pain with kidney deficiency and blood stasis syndrome[J]. J Tradit Chin Med(中医杂志), 2018, 59(15): 1300-1304.

[3] TAN L Y, MA H N. Research progress in pharmacological activities of *Rhizoma Drynariae*[J]. Chin J Ethnomed Ethnopharm(中国民族民间医药), 2017, 26(11): 66-70.

[4] LI B, DUAN T, FAN L. Study on inhibitory effect of *Drynaria Fortunei* extract on human myeloma SP20 cells[J]. Afr J Trad Compl Alt Med, 2013, 10(5): 375-379. Doi: 10. 4314/ajteam. v10i5. 26.

[5] 李积东, 黄起壬. 柚皮昔的分离提取及药理作用研究进展[J]. 北方药学, 2014(11): 67-68.

[6] JIANG Z W, ZENG J Q, HUANG F, et al. Effects of flavonoids of *Rhizoma Drynariae* on Tibia distraction

osteogenesis efficacy in rat model[J]. China J Tradit Chin Med Pharm(中华中医药杂志), 2018, 33(2): 661-663.

[7] 王翊豪, 许晓义, 杨斯琪, 等. 半枝莲药理作用及化学成分提取的研究进展[J]. 牡丹江医学院学报, 2017(38): 116-118.

[8] LIU X. Extraction, separation and antitumor activity of total alkaloids from *Scutellaria barbata*[D]. Wuhan: Jiangnan University, 2017.

[9] SONG H E, REN Y. Determination of four flavonoids in *Scutellaria barbata*[J]. Guangzhou Chem Ind(广州化工), 2020, 48(3): 103-105.

[10] 宋宗辉, 张艺雯, 王玲洁, 等. 姜胃宁颗粒的质控标准提高研究[J]. 时珍国医国药, 2019, 30(10): 2397-2399.

[11] KE Y, BAO T H, WU X S, et al. Scutellarin suppresses migration and invasion of human hepatocellular carcinoma by inhibiting the STAT3/Girdin/Akt activity[J]. Biochem Biophys Res Commun, 2017, 483(1): 509-515.

[12] ZHANG L B, SUN S, LI W, et al. Effect of scutellarin inhibits collagen-induced arthritis through TLR4/NF- $\kappa$ B-mediated inflammation[J]. Mol Med Rep, 2017, 16(4): 5555-5560.

[13] 杨明明, 袁晓旭, 赵桂琴, 等. 山茱萸化学成分和药理作用的研究进展[J]. 承德医学院学报, 2016, 33(5): 398-400.

[14] WEN Y Y, WANG L, WANG S, et al. Review on extraction, isolation and antioxidant activity of active components from *Cornus officinalis*[J]. World Latest Med Inf(世界最新医学信息文摘), 2018, 18(92): 44-46, 48.

[15] XU H Q, SHEN J, LIU H, et al. Morroniside and loganin extracted from *Cornus officinalis* have protective effects on rat mesangial cell proliferation exposed to advanced glycation end products by preventing oxidative stress[J]. Can J Physiol Pharmacol, 2006, 84(12): 1267-1273.

[16] ZHUANG F Z, ZHAO Y X, LI Y H, et al. Simultaneous determination of four components in Shilongqingxue granules by HPLC[J]. J Shenyang Pharm Univ(沈阳药科大学学报), 2019, 36(6): 487-491.

[17] XU C S, CHEN J S, ZHANG S Y, et al. Establishment of HPLC fingerprint and determination of multiple components in Compound Shexiang Huangqi Dropping Pills[J]. Chin J New Drugs(中国新药杂志), 2020, 29(16): 1894-1901.

[18] HU K, LI S S, LIU W, et al. Simultaneous determination of 6 compounds in *Rehmanniae Radix* by dual-wavelength HPLC[J]. Chin J Mod Appl Pharm(中国现代应用药学), 2020, 37(12): 1478-1482.

[19] ZHANG K Y, HONG T, WANG D, et al. Simultaneous determination of two specific flavonoid glycosides in *Lysimachia capillipes* Hemsl. by HPLC[J]. Chin J Mod Appl Pharm(中国现代应用药学), 2020, 37(13): 1570-1573.

[20] HUANG H, HU W N. Simultaneous determination of succinic acid, hesperidin and liquiritin in Banxia syrup by HPLC[J]. Chin J Mod Appl Pharm(中国现代应用药学), 2020, 37(8): 967-970.

收稿日期: 2020-04-28  
(本文责编: 曹粤锋)